

15. 光弾性による箱桁の応力測定

中部工業大学 正員 枝城朝恭
中部工業大学 正員 ○垣見敬幸

1 要旨

薄肉中空構造を有する箱桁に対して、光弾性による応力解析法としては、二層法、凍結法、あるいは皮膜法等が考えられる。筆者等は、先に純曲げを受けた箱桁に関する、凍結法による光弾性応力解析を試みたが、その試験結果は、誤の曲げ理論値とほぼ一致した。そこで、引張り曲げせん断を受けた場合について、凍結法を適用し、箱桁の応力測定を行ない、計算値と比較検討した。

2 模型

模型材料は、先に行なった試験と同じく、加熱溶解したアルミニウムBに、ハードナーHT901を混入したもので、U型枠に鉛込み、厚さ2mmのエポキシ平板を作製し使用した。これを所要寸法に切断し、ヤスリ仕上げの後、加工時の残留応力を除去するために、熱風乾燥炉内で焼成を行なつた。接着には、エポキシ系接着剤ボンドEを用い、模型枠を組立てた。

試験の精度を上げるために、数種類の模型枠の製作を試みたが、ここでその枠の寸法として図-1に示すようす。スペイン $\lambda = 170\text{mm}$ 、矩形断面 $b \times h = 34 \times 34\text{mm}$ (試験枠No1)、 $24 \times 34\text{mm}$ (同No2)、 $34 \times 24\text{mm}$ (同No3) の3種について試験し報告をする。

3 試験方法

応力凍結炉は、サーミスタ微小温度制御装置付の熱風循環式恒温槽を使用した。荷重は、炉内が転移域以上の温度約120°Cに達してから約20分後に載荷し、平衡せしめるため約20分間、同一温度に保持してから降下を開始せしめたが、転移域より下の温度80°Cまでは、降下速度が1時間に5°Cとなるように制御し、その後は自然冷却を待ち、常温にて荷重を除いた。荷重方法は、桁中央に集中荷重を与えた、腹板上載荷とした。(写真-1)

応力凍結後、模型枠を解体し、ウェブプレート

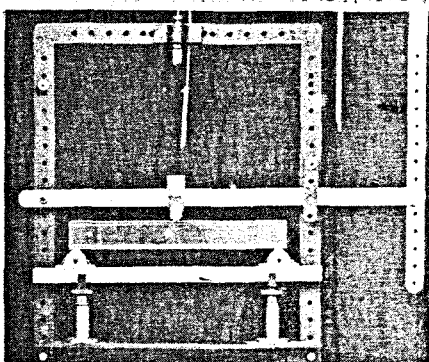


写真-1 截荷用フレーム

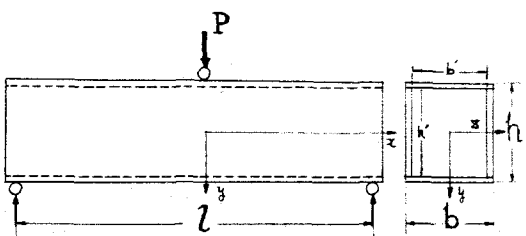


図-1 模型桁寸法

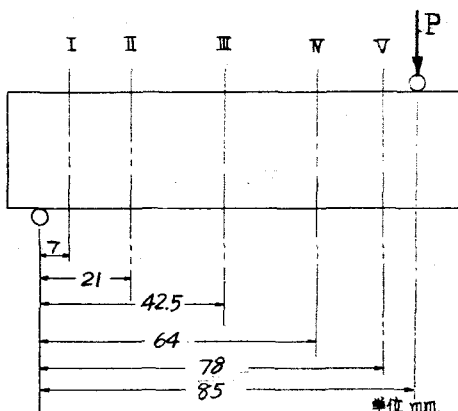


図-2 測定断面

とフランジプレートにかけ、二次元光弾性実験装置による、等色線の撮影、および繰り返し載荷回数、等複数の測定を行なった。写真2～4は、暗視野における凍結等色線図である。

繰り返し載荷回数と等色線の測定以後、ワットトローサーを剥離した。

光弾性感度係数は、模型材料と同じ素材から四板較正試験片を取り出し、前述したと同じ凍結サイクルのもとで、直徑方向に集中圧縮荷重を加え、中心の繰り返し載荷回数を測定して求めた。

測定を行なう。左側面は、図-2に示すように、右側面と同一電力解析は、各断面を10等分し、同式積分法により算出した。

4 試験結果と計算値との比較

図-3～5は、各模型軸に関する各断面の垂直応力変形と

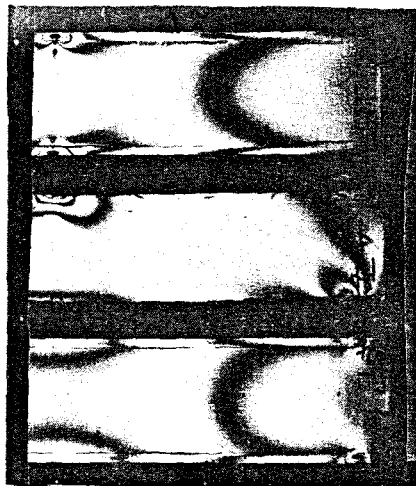


写真2 模型軸 No.1 等色線図
上-上フランジ、中-ワット、下-下フランジ

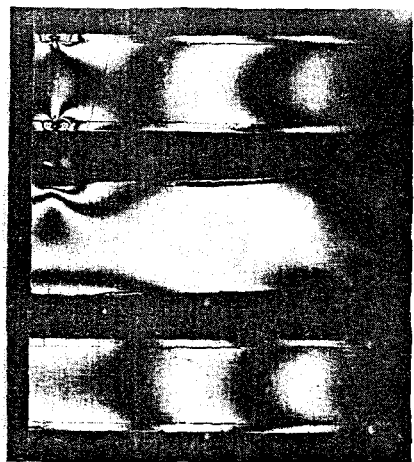


写真3 模型軸 No.2 等色線図
上-上フランジ、中-ワット、下-下フランジ

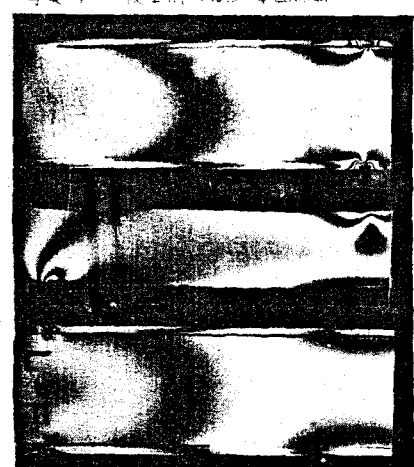


写真4 模型軸 No.3 等色線図

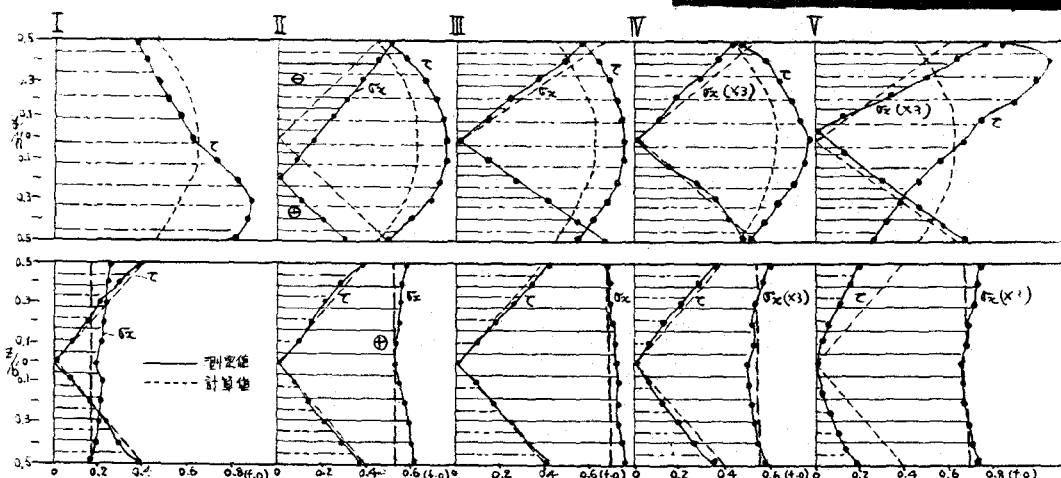


図-3 模型軸 No.1 応力分布図 上図、左フランジ 下図、右フランジ

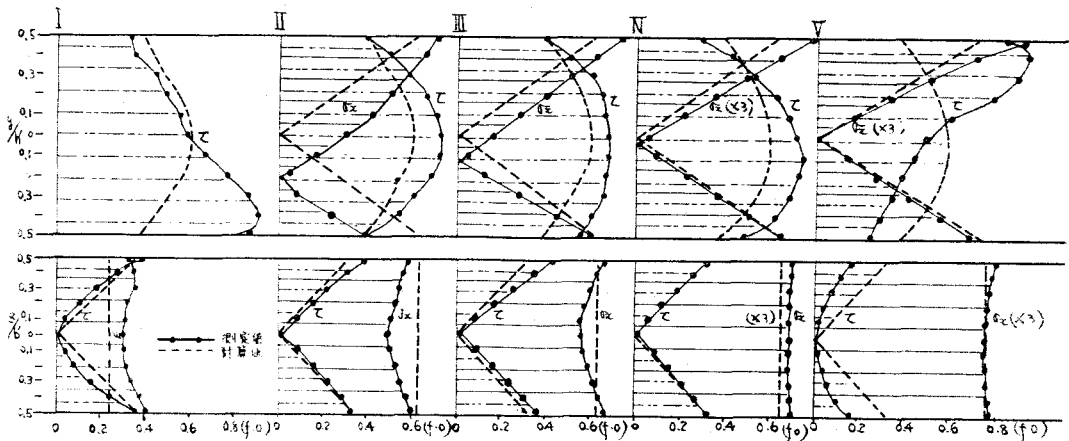


図-4 模型荷 No.2 応力分布図 上図-右エンド、下図-下フランジ

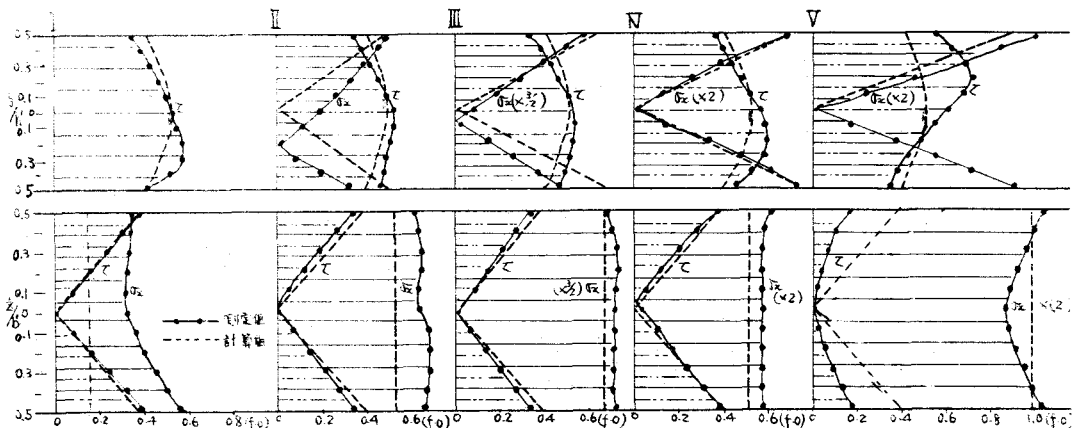


図-5 模型荷 No.3 応力分布図 上図-右エンド、下図-下フランジ

セン断应力変形について 計定値と計算値から得た分布状態を示したものである。 計算値は、曲げ応力理論式、せん断応力理論式から求めた。 単位は、fringe order $\approx 1.0(f_0) = 0.013 \text{ kN/mm}$ である。

a) エンドプレートにつけた荷重装置で云ふることは、支点および荷重点の近傍の I、V 断面を除き、II、III、IV 断面におけるての測定値は、計算値曲線と類似。放物線形であるが、max では測定値の方が 10% ~ 20% 大きくである。 これは、V 断面において測定値の方が多少大きい傾向を示した。

b) フランジプレートについて II、III、IV 断面でのこの測定値は計算値とはほぼ一致した。 他の測定値は、大体、双曲線形の形で示された傾向が認められ、理論値と比較するとどの大小は、各断面によっており、更に複雑の傾向がある。

参考文献 1) 中野工業大学紀要 No.3 1967